

УДК:532.516.2

## Волны завихренности в задачах гидродинамической устойчивости

М.Н. Захаренков

ЦАГИ им. Н.Е. Жуковского, Жуковский

Брянский государственный университет им. И.Г. Петровского

E-mail: mik15353@mail.ru

Известная задача перехода течения около кругового цилиндра при  $Re = 40$  от симметричной формы к вихревой дорожке Кармана может быть рассмотрена как задача развития и усиления вихревых волн. В следе за цилиндром наблюдается развитие трех пучков вихревых волн малой интенсивности, которые хорошо визуализируются как структуры относительной завихренности  $\bar{\Omega} = \Omega(t_1) - \Omega(t_0)$  — разности завихренности  $\Omega$  в два различных момента времени. При этом  $t_0$  — фиксировано. В поле  $\bar{\Omega}$  чередующаяся структура квадруполь характеризуется линейным параметром  $l = h/d$  отношением ширины центрального пучка вихревых волн к расстоянию между центрами квадруполь “одного знака”. При достижении значения  $l = 0,281$ , которое совпадает со значением аналогичного параметра устойчивой вихревой дорожки Кармана, происходит переход от симметричного обтекания вязкой несжимаемой жидкостью к вихревой дорожке.

**Ключевые слова:** завихренность, вихревые волны, вихревая дорожка.

### ВВЕДЕНИЕ

Подробное исследование обтекания кругового цилиндра вязкой несжимаемой жидкостью с учетом зависимости вязкости от температуры при числе Рейнольдса  $Re = 40$  проведено в [1]. Получено, что при больших временах развития течения происходит переход от симметричной формы обтекания к вихревой дорожке. Несмотря на возможное влияние численных факторов конечно-разностной модели, таких как нелинейная неустойчивость, отражение возмущений от дальней границы расчетной области, представляет интерес изучение физических процессов, сопутствующих или приводящих к смене форм обтекания цилиндра.

В работе [2] изучались вихревые волны, распространяющиеся по поверхности профиля NASA0012. Обнаружено их усиление в области отрыва потока и особенно в окрестности задней кромки профиля. Одновременно разработан инструмент обнаружения вихревых волн даже очень малой интенсивности, который сводится к изучению структур поля относительной завихренности  $\bar{\Omega} = \Omega(t_1) - \Omega(t_0)$  — разности завихренности  $\Omega$  в два различных момента времени. Закрытым структурам в пространстве  $\bar{\Omega}$  соответствуют волны в пространстве  $\Omega$  [3]. В настоящей работе этот аппарат исследования применяется для изучения физики перехода от симметричного обтекания кругового цилиндра к вихревой дорожке.

## 1. ПОСТАНОВКА ЗАДАЧИ

Постановка задачи производится в переменных: функция тока  $\Psi$ , завихренность  $\Omega$ , температура  $T$ , давление  $p$ . Функция тока  $\Psi$  и завихренность  $\Omega$  определены следующими соотношениями:

$$u = \frac{\partial \Psi}{\partial y}, \quad v = -\frac{\partial \Psi}{\partial x}, \quad \Omega = \frac{\partial u}{\partial y} - \frac{\partial v}{\partial x}.$$

Система уравнений Навье–Стокса в криволинейных ортогональных координатах  $\xi, \eta$  ( $\xi = \ln r, \eta = \varphi$ , где  $\varphi, r$  — полярные координаты), постановка граничных условий и метод решения приведены в [1, 4, 5]. На поверхности цилиндра задаются условия прилипания. На дальней границе расчетной области задаются условия равномерного потока, реализуемые через задание  $\partial \Psi / \partial \xi|_{s_\infty} = e^{0,5\xi_\infty} \sin \eta$  и равенство  $\partial \Omega / \partial \xi|_{s_\infty} = 0$ . Начальные условия соответствуют традиционному подходу: старт движущегося тела в покоящейся жидкости, т. е. функция тока и завихренность равны нулю, изменение скорости происходит мгновенно.

## 2. РЕЗУЛЬТАТЫ РАСЧЕТОВ

Верификация результатов расчетов обтекания кругового цилиндра проведена в [1]. Проведены расчеты при удалении внешней границы расчетной области: окружности радиуса  $R_\infty = 40R$ , где  $R$  — радиус цилиндра, числе улов по радиальному направлению  $N_\xi = 640$  и при температуре невозмущенного потока  $T_\infty = 20$  °С, температурах цилиндра  $T_s = 21$  и  $T_s = 30$  °С, которые дают значения коэффициента сопротивления и отношение длины отрывной зоны к диаметру цилиндра, необходимые для сравнения с расчетными и экспериментальными данными других авторов. Обтекание кругового цилиндра исследуется, учитывая зависимость вязкости от температуры.

Многочисленные результаты исследования содержатся в [1]. В предлагаемой статье достаточно ограничиться только дополнительным исследованием связи между относительной завихренностью и вихревыми волнами, развитию вихревых волн и переходом от симметричного обтекания к течению с вихревой дорожкой.

Принципиальным вопросом многочисленных исследований обтекания цилиндра при числе  $Re = 40$  является сохранение симметрии отрывной зоны, среднего и дальнего следа за цилиндром. В настоящем исследовании проводится изучение свойств течения с оценкой поведения относительной завихренности  $\bar{\Omega} = \Omega(t_2) - \Omega(t_1)$ . Представляет интерес изучение развития структур относительной завихренности при больших  $t_2$ . На рис. 1 приведены линии постоянных значений относительной завихренности для  $t_1 = 97,5, t_2 = 102,5, 109,5, 150,5, 184,5, 226,5, 256,5$ . На рис. 1 видно, что при  $t_2 = 226,5$  и  $256,5$  структуры в пространстве  $\bar{\Omega}$  имеют практически совпадающие период и линейные размеры. Интенсивность  $\bar{\Omega}$  возрастает. В то же время, очевидно, что замкнутым структурам в пространстве относительной завихренности  $\bar{\Omega}$ , соответствуют волны завихренности, имеющие тот же период. Характерно, что как структуры  $\bar{\Omega}$ , так и волны  $\Omega$  ограничены в своем распространении только областью следа за цилиндром. Принимая во внимание, что в верхней и нижней полуплоскостях  $\Omega$  имеет противоположный знак, из рис. 1 следует, что ядрам структур  $\bar{\Omega}$  (замкнутые линии  $\bar{\Omega} = \text{const}$ , т. е. одного знака),двигающимся по оси симметрии следа, соответствует следующий процесс: в верхней полуплоскости при  $\bar{\Omega} > 0, \Omega^+ > 0$  завихренность  $\Omega^+$  растет по сравнению с  $t = t_1$ , а в нижней —  $\bar{\Omega} > 0, \Omega^- < 0$  и  $|\Omega^-| < |\Omega(t_1)|$ . Таким образом, ядрам структур  $\bar{\Omega}$  на

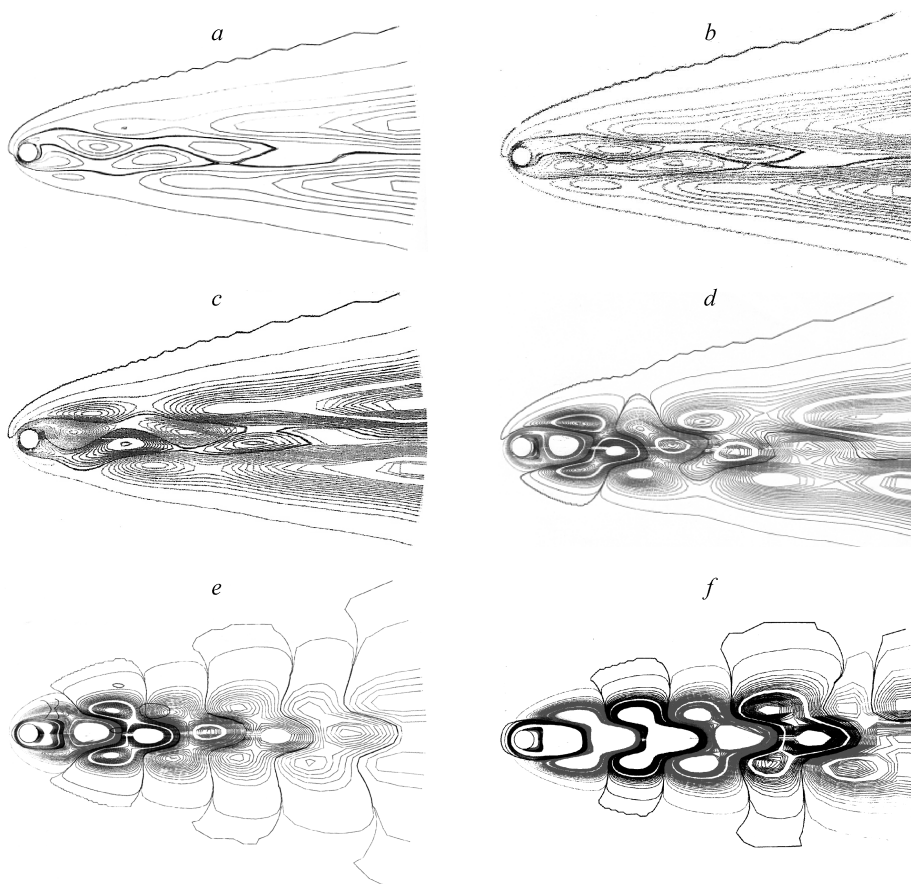


Рис. 1. Линии равных значений относительной завихренности  $\bar{\Omega} = \Omega(t_2) - \Omega(t_1)$ ,  $t_1 = 97,5$ ,  $t_2 = 102,5$  (a), 109,5 (b), 150,5 (c), 184,5 (d), 226,5 (e), 256,5 (f).

$$\bar{\Omega}_k = 0,000125 \cdot k, k = \pm 1, \dots, \pm 20.$$

оси следа соответствуют области явной несимметрии  $\Omega$  в следе, поскольку  $|\Omega^+| > |\Omega^-|$ . Для последующего ядра ( $\bar{\Omega}$  противоположного знака) несимметрия  $\Omega$  тоже “меняет знак” для верхней и нижней полуплоскостей.

Наконец, при изучении таким же образом поведения  $\Omega$  вдоль прямых  $x = \text{const}$ , производящих разрез следа в области интенсивных структур  $\bar{\Omega}$ , можно выделить три пучка волн с общим периодом  $T$ . Первый пучок будет соответствовать структурам  $\bar{\Omega}$  на оси следа, второй — распространяться по внешнему слою  $\bar{\Omega}$  структур в верхней полуплоскости, третий пучок — по внешнему слою в нижней полуплоскости. Второй и третий пучки имеют сдвиг по фазе  $T/2$  с центральным пучком, что после изучения истории развития возмущений соответствует опережению. Также интересно отметить, что волнистость следа на рис. 2 при  $t = 256,5$  (хорошо заметная на внешней границе вихревого следа), что соответствует  $\bar{\Omega}$  на рис. 1, f, имеет период, совпадающий с периодом  $\bar{\Omega}$  структур.

Отметим, что пространственные характеристики структур на рис. 1, f содержат в себе отношение  $h/l = 0,281$ , определенное Карманом для устойчивой вихревой дорожки. Например, определив  $l$  как расстояние между  $\bar{\Omega}$  структурами следа одного знака (длина волны в  $\Omega$  пространстве),  $H$  — как ширину следа

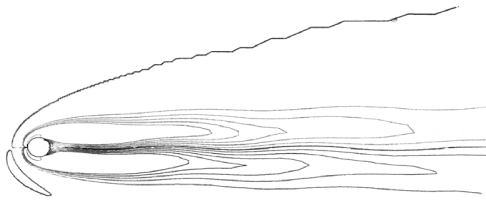


Рис. 2. Линии равных значений завихренности  $\Omega_j = (j - 1) \cdot 0,25 - 1,25$ ,  $j = 1, 2, \dots, 10$ ,  $\Omega_k = (k - 1) \cdot 20 - 50$ ,  $k = 1, \dots, 6$  в момент времени  $t = 256,5$ .

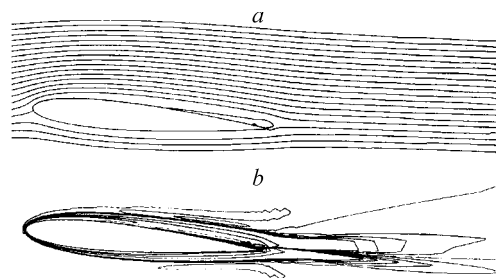
в  $\bar{\Omega}$  пространстве,  $h = H/3$  и заметив, что для центрального пучка и для волн боковых пучков ширина области распространения пучка  $h$  практически одинакова, получим  $h/l = 0,28$ . Принимая гипотезу, что такие значения отношения  $h/l$  определяют устойчивость  $\bar{\Omega}$  структур, можно видеть, что переход к дорожке Кармана уже совершенно определенно является бифуркацией одного устойчивого течения к другому, тоже устойчивому. Устойчивость обоих течений определяется одним и тем же значением параметра  $h/l$ .

### 3. ОБСУЖДЕНИЕ

Анализ структур относительной завихренности показал наличие трех пучков волн завихренности в следе за цилиндром. Интересно выяснить, как они формируются? Процесс усиления поверхностных волн завихренности, бегущих от передней кромки профиля NACA0012 при  $Re = 10000$  и угле атаки  $\alpha = 5^\circ$ , был изучен ранее [2]. Обтекание профиля в этом случае происходит с отрывом потока и формированием замкнутой зоны отрыва потока от профиля (см. рис. 3). Получено, что поверхностные волны завихренности (см. рис. 4) при прохождении точки отрыва потока усиливаются, а затем продолжают расти в зоне отрыва потока, и их наибольший рост происходит по приближению к задней кромке профиля, где завихренность  $\Omega_S = 0$ . Последнее обусловлено тем, что завихренность в пограничном слое над и под профилем имеет различный знак, поэтому на задней кромке профиля или в ее малой окрестности завихренность принимает нулевое значение. Учитывая, что в точке отрыва потока завихренность тоже равна нулю, получаем, что замкнутая область отрыва потока усиливает вихревые волны.

Теперь при рассмотрении линий тока и линий равной завихренности около кругового цилиндра на рис. 5 по линиям тока можно легко определить положение точки так называемого первичного отрыва потока, а по линиям равной завихренности видно, что существует и вторичный отрыв потока. То, что точки первичного и вторичного отрывов потока совпадают, легко проясняется распределением  $\Omega_S$  (рис. 6), где на верхней и на нижней частях поверхности цилиндра есть только одна точка перемены знака завихренности, учитывая, что  $\Omega_S = 0$  является необходимым условием для точки отрыва потока. Область первичного отрыва потока ограничена линией тока  $\Psi = 0$ , а область вторичного отрыва потока — изолинией  $\Omega = 0$ .

Рис. 3. Линии тока  $\Psi_i = (i - 1) \cdot 0,025 - 0,075$ ,  $i = 1, 2, \dots, 20$  (a) и линии равной завихренности  $\Omega_j = (j - 1) \cdot 0,25 - 1,25$ ,  $j = 1, 2, \dots, 10$ ,  $\Omega_k = (k - 1) \cdot 20 - 50$ ,  $k = 1, \dots, 6$  (b) около профиля NACA0012 при  $Re = 10000$ ,  $\alpha = 5^\circ$ .



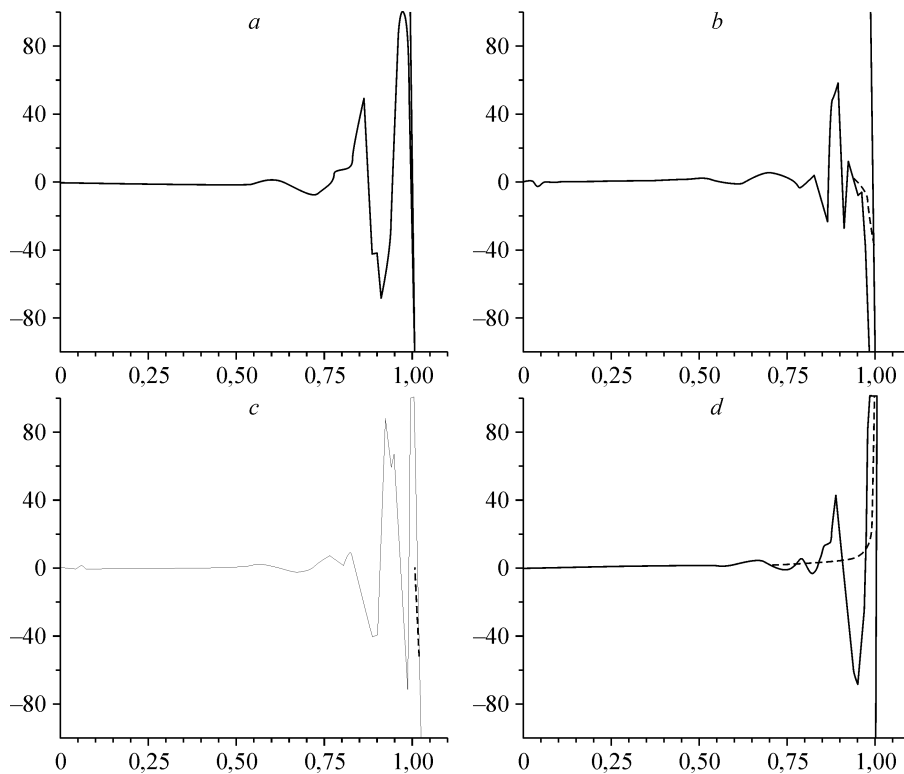


Рис. 4. Волны относительной завихренности, показанные с шагом по времени  $\delta t = 0,1$  при  $Re = 10,000$ ,  $\alpha = 5^\circ$ .

Поверхностная вихревая волна в точке двойного отрыва потока частично уходит в область первичного отрыва потока, а частично — в область вторичного отрыва потока, что представляет новую физическую ситуацию по сравнению с распространением вихревых волн по профилю, на котором имеется только одна зона отрыва потока. Учитывая, что генератором поверхностных волн являются как передняя, так и задняя критические точки, можно видеть, что вихреволновая структура течения достаточно сложна, и поэтому информация, получаемая при изучении структур относительной завихренности, здесь очень полезна.

Наконец, пока что обсуждались только поверхностные вихревые волны, но очевидно, что поверхностным волнам соответствует пакет волн, распространяющихся в пристеночном течении. Для всех волн этого пакета граница области вторичного отрыва потока, где  $\Omega = 0$ , является своеобразным препятствием, что ведет к их усилению. Таким образом, именно развитие и усиление поверхностных вихревых волн и пакета пристеночных вихревых волн является внутренним физическим

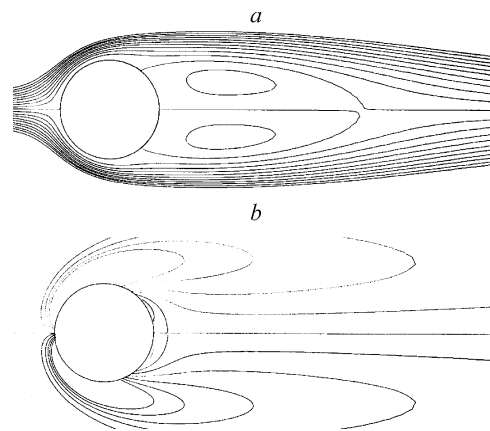


Рис. 5. Линии тока  $\Psi_i = (i - 1) \cdot 0,0125 - 0,25$ ,  $i = 1, 2, \dots, 20$  (a) и линии равной завихренности  $\Omega_j = (j - 1) \cdot 0,25 - 1,25$ ,  $j = 1, 2, \dots, 10$ ,  $\Omega_k = (k - 1) \cdot 20 - 50$ ,  $k = 1, \dots, 6$  (b) около кругового цилиндра при  $Re_D = 40$ .

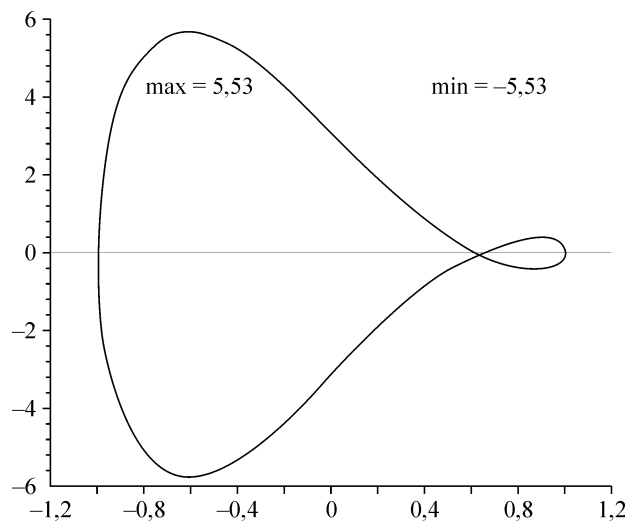


Рис. 6. Распределение завихренности  $\Omega_c$  по поверхности цилиндра.

механизмом, который можно противопоставить влиянию численных факторов на развитие неустойчивости симметричного обтекания цилиндра.

Изучение структур относительной завихренности весьма плодотворно и позволяет выявить еще один факт. На рис. 1, *a, b, c* видно, что, по крайней мере, до  $t = 150,5$  в следе за профилем имеются только два пучка волн, которые при  $t \geq 184,5$  (см. рис. 1 *d, e, f*) становятся боковыми. Из этого следует, что процесс излучения волн областью вторичного отрыва начинается значительно позже формирования боковых пучков, то есть можно предполагать, что первоначально в области вторичного отрыва идет процесс насыщения.

Далее, из анализа структур относительной завихренности легко установить, что центральный и боковые пучки волн завихренности имеют сдвиг по фазе, что еще раз подчеркивает тот факт, что в области вторичного отрыва потока развивается внутренний процесс усиления вихревых волн и их последующего излучения в след за цилиндром (см. рис. 1, *e, f*).

В настоящее время наиболее важным из полученных результатов представляется тот факт, что развитие вихревой дорожки начинается после достижения значения линейного параметра  $h/l = 0,281$ , общего для волнового процесса и устойчивой вихревой дорожки Кармана. Также важно, что формирующиеся вихри идут в следе по предварительно структурированному течению, имеющему линейную характеристику, благоприятствующую именно устойчивой вихревой дорожке.

Необходимо подчеркнуть, что идея о том, что при  $Re = 40$  в симметричной структуре течения около кругового цилиндра должен присутствовать линейный параметр, аналогичный параметру устойчивой вихревой дорожки Кармана, высказывалась в период 1975–1978 гг. на научном заседании кафедры аэромеханики и газовой динамики МГУ академиком Г.И. Петровым, но не нашла тогда подтверждения.

#### ВЫВОДЫ:

1. Предложен эффективный инструмент исследования вихревых волн малой и очень малой интенсивности, развивающихся при обтекании тел вязкой средой. В поле относительной завихренности вихревые волны проявляются как замкнутые чередующиеся структуры, имеющие разный знак;

2. В течениях за круговым цилиндром при  $Re_D = 40$  выявлено последовательное развитие вихревых волн малой интенсивности, что характеризует процесс скрытой нестационарности, поскольку в поле завихренности волновое движение практически незаметно. На первой стадии течения до  $t = 150,5$  наблюдаются два пучка волн. На второй стадии течения — три пучка волн: центральный и два боковых (соответствующих первому этапу);

3. Интенсивность волн центрального пучка растет со временем. При этом отношение  $h/l$ , где  $l$  — расстояние между  $\overline{\Omega}$  структурами следа одного знака (длина волны в  $\Omega$  пространстве),  $h = H/3$ ,  $H$  — ширина следа в  $\overline{\Omega}$  пространстве, достигает значения  $h/l = 0,28$ . Аналогичное отношение определено Карманом для устойчивой вихревой дорожки и равно  $0,281$ ;

4. При достижении  $h/l = 0,28$  для структур относительной завихренности, ближайших к цилиндру, происходит вихреволновой резонанс и переход к существенно нестационарному течению—развитию вихревой дорожки;

5. Образующиеся вихри движутся в следе по предварительно структурированному волновому полю, имеющему линейную характеристику, соответствующую устойчивой вихревой дорожке Кармана.

#### СПИСОК ЛИТЕРАТУРЫ

1. Захаренков М.Н. Энтропийное приближение в задаче обтекания кругового цилиндра вязкой несжимаемой средой с учетом зависимости вязкости от температуры // Теплофизика и аэромеханика. 2007. Т. 14, № 4. С. 563–590.
2. Захаренков М.Н. Переход поверхностной вихревой волны через точку отрыва потока от профиля // Теплофизика и аэромеханика. 1998. Т. 5, № 4. С. 519–527.
3. Захаренков М.Н. Скрытая нестационарность в следе за круговым цилиндром при  $Re = 40$  как процесс структурирования течения, предшествующий переходу к вихревой дорожке // Сб. докл. Межд. конф. “Потоки и структуры в жидкостях”. С-Петербург, 2-5 июля 2007. С. 225–227.
4. Zakharenkov M.N. Unsteady detached separation from a circular cylinder performing rotational oscillations in a uniform viscous incompressible flow // Inter. J. for Numeric. Methods in Fluids. 1997. Vol. 25. P. 125–142.
5. Захаренков М.Н. Единственность давления при решении уравнений Навье–Стокса в переменных функция тока и завихренность // Матем. моделирование. 1998. Т. 10, № 1. Р. 3–10.

*Статья поступила в редакцию 7 апреля 2008 г.*